

**პიღროპვანის ქვედა ბიეფში ნახტომის შემთხვევაში ნაკადით  
კალაპოტის ფსაერის ლოპალური გარეცხვის ორმოს  
უდიდესი სიღრმეებისა და კალაპოტის ფერდოს  
ჩამორჩევის უდიდესი სიგანეების პიღრავლიპური  
გაანგარიშების მეთოდი**

### ა.გიორგილი

მეთოდი კამოყენება ქვედა ბიეფში წყალსაცემის საზღვრებში სრულად მოთავსებული პიღრავლიური ნახტომის საშუალებით ბიეფში ფსეურული რეჟიმით შეუძლების პირობებში, პორიზონტალური წყალსაცემის ან რისბერმის შემდეგ კალაპოტის ფსეურის ლოპალური გარეცხვის ორმოს დროზე დამოკიდებული უდიდესი  $Y_r$  სიღრმეების, მათი ზღვრული  $Y_{rm}$  მნიშვნელობის, ფსეურის ლოპალური გარეცხვის ორმოს შეაღებული და სტაბილიზებული ფორმის შესაბამისი სიღრმეების მიღწევისათვის საჭირო  $t_1^*$  და  $t_1$  დროის პერიოდების, ასევე გარეცხვის ორმოს და მის შემთხვევაში დინების მიმართულებით, სადაც ჯერ კიდევ შესამჩნევია ნახტომით გენერირებული ტალღების ტრანსფორმაციით გამოწევული წყლის ზედაპირის ტალღური რხევა კალაპოტის ფერდოს ჩამორცხვის უდიდეს  $I$  სიგანეთა მნიშვნელობების, ნაპირგასწვრივი ტალღური დინებით ფერდოდან ჩამორცხვილი გრუნტის საშუალო  $Q_{sl}$  ხარჯის,  $t$  დროის განავლობაში ფერდოდან ჩამორცხვილი გრუნტის  $W_s$  მოცულობის, მისი მაქსიმალური  $W_{sm}$  მნიშვნელობის და ფერდოს გარეცხვის სტაბილიზაციის  $t_2$  დროის პერიოდის დასადგენად.

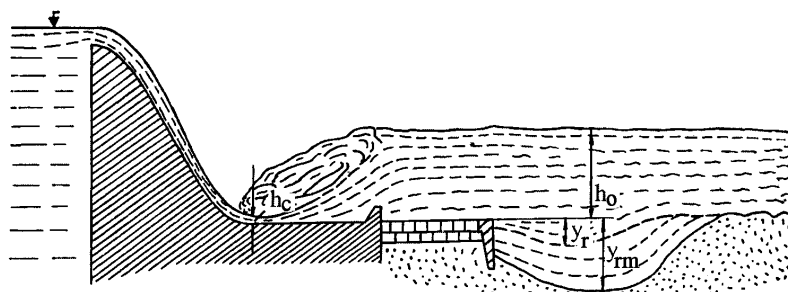
პიღროკვანძების ქვედა ბიეფებში ლოპალური გარეცხვების ამოცანა, მიუხედავად მისი საინჟინრო გათვლებისთვის არსებითი პრაქტიკული მნიშვნელობისა, ჯერ კიდევ არ შეიძლება ჩაითვალოს ბოლომდე და მთლიანად გადაწყვეტილად. ეს განსაკუთრებით შეეხება გამაგრების შემდეგ ფსეურის ლოპალური გარეცხვის ორმოს სიღრმეების დროში ცვალებადობისა და ნაპირების (კალაპოტისა და არხების ფერდობების) ჩამორცხვის ამოცანებს. აღნიშნული გარემოებები პორიზონტალური რისბერმიდან ჩამომავალი ნაკადით ლოპალური გარეცხვის პარამეტრების პროგნოზირების არსებულ მეთოდებში ჩადებულ არასაკმარისად ცხად ფიზიკურ და პიღრავლიურ წინაპირობებთან ერთად, ლოპალური გარეცხვების პიღრავლიკის ძირითადი მდგომარეობის და გარეცხვების პარამეტრების პროგნოზირების მეთოდიკის სრულყოფის აუცილებლობას განაპირობებს, რითაც ასევე აიხსნება [1] ნაშრომში დასმული საკითხების გადაწყვეტის აქტუალობა. მასში, თეორიული პიღრავლიკის ბაზის ფენომენოლოგიურ მეთოდზე დაყვანის საშუალებით და ცდებიდან მაკორექტირებელი კოეფიციენტების განსაზღვრის გზით, რისბერმიდან ჩამოსული ნახტომსშემდეგი ნაკადით კალაპოტის არაშეკაშირებულ გრუნტებში ლოპალური გარეცხვის ორმოს დროზე დამოკიდებული უდიდესი სიღრმეების ზრდისა და პორიზონტალური გამაგრების მომდევნო არეში ფერდოების ჩამორცხვის პარამეტრების პროგნოზირების მეთოდიკა აგებული.

მეთოდიკაში ასახული შემაჯამებელი საანგარიშო დამოკიდებულებების საშუალებით განსაზღვრული ლოპალური გარეცხვის ორმოს პარამეტრების სიღრმეების სხვა ავტორების მიერ დამოუკიდებლად ჩატარებული ცდებისა და ნატურული მონაცემების ასეთსავე სიღრმეებთან შეპირისპირება საკმარისად კარგ ურთიერთშესაბამისობებს იძლევა. კერძოდ, შედარებული იყო 78 ცდისა და ნატურული მონაცემების შედეგები. ანალიზმა ცხადყო, რომ მიღებული საანგარიშო ფორმულა სავსებით მისაღებია რეალური ობიექტების ლოპალური გარეცხვის ორმოების მაქსიმალური სიღრმეების პროგნოზირებისათვის, ვინაიდან სანაგარიშო და ცდების შედეგების საშუალო კვადრატული გადახრა 18%-ს არ აღემატება.

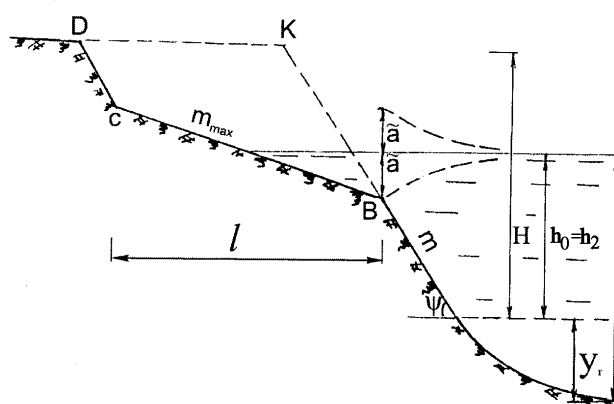
მეთოდიკა ჰიდროტექნიკური ნაგებობების დაპროექტების სფეროში მომუშავე მეცნიერ-მკვლევარებისა და დამპროექტებლებისთვისაა განკუთვნილი.

### 1. მეთოდიკის გამოყენების სფერო, ძირითადი შეზღუდვები და მიღებული აღნიშვნები

მოცემული მეთოდიკა გამოიყენება ქვედა ბიეფში წყალსაცემის საზღვრებში სრულად მოთავსებული ჰიდროგლიკური ნახტომის საშუალებით ბიეფების ფსკერული რეჟიმით შეუღლების პირობებში ჰიდრონტალური წყალსაცემის ან რისპერმის შემდეგ კალაპოტის ფსკერის ლოკალური გარეცხვის დროზე დამოკიდებული უდიდესი  $y_r$  სიღრმეების, მათი ზღვრული  $y_{rm}$  მნიშვნელობის, ფსკერის ლოკალური გარეცხვის ორმოს შუალედური და სტაბილიზებული ფორმის შესაბამისი სიღრმეების მიღწევისათვის საჭირო  $t^*$  და  $t_1$  დროის პერიოდების, ასევე გარეცხვის ორმოს და მის ქვემოთაც დინების მიმართულებით, სადაც ჯერ კიდევ შესამჩნევია ნახტომით გენერირებული ტალღების ტრანსფორმაციით გამოწვეული წყლის ზედაპირის ტალღური რხევა კალაპოტის ფერდოს ჩამორეცხვის უდიდეს  $I$  სიგანეთა მნიშვნელობების, ნაპირგასწრივი ტალღური დინებით ფერდოდან ჩამორეცხილი გრუნტის საშუალო  $Q_{SL}$  ხარჯის,  $t$  დროის განმავლობაში ფერდოდან ჩამორეცხილი ნატანის  $W_S$  მოცულობის, მისი მაქსიმალური  $W_{Sm}$  მნიშვნელობის და ფერდოს გარეცხვის სტაბილიზაციის  $t_2$  დროის პერიოდის დასადგენად [1] (ნახ. 1, 2).



ნახ. 1. ლოკალური გარეცხვის ორმოს უდიდესი სიღრმეებისა და მათი ზღვრული (მაქსიმალური) მნიშვნელობის გრაფიკული გამოსახულება



ნახ. 2. ჩამორეცხილი ფერდოს სტაბილიზებული კონფიგურაციის სქემა

მეთოდიკა მისაღებია მხოლოდ მაშინ, როდესაც ქვედა ბიუფში გამაგრების შემდეგ გამაგრებიდან ჩამომავალი ნაკადისათვის ფრუდის რიცხვი 1-ზე ნაკლებია. მისი მიღების სხვა შეზღუდვად გვევლინება ქვედა ბიუფში კალაპოტის შემადგენელი გრუნტის სახეობა. კერძოდ, იყო განკუთვნილია ლოკალური გარეცხვის სიღრმების, კალაპოტის ფერდოს ჩამორეცხვის უდიდესი სიგანების, ფერდოდან ჩამორეცხილი გრუნტის ხარჯის, ჩამორეცხილი ნატანის მოცულობების პროგნოზირებისათვის კალაპოტის ფსკერის და ფერდოს შემადგენელი შეჭიდულობის დაბალი კოეფიციენტების მქონე შეუკავშირებელ ფხვიერ გრუნტებზე. თიხოვანი ნაწილაკების დიდი პროცენტით შემცველობის და ამის გამო შეჭიდულობის მოდულის დიდი მნიშვნელობის მქონე გრუნტების შემთხვევაში მოცემული მეთოდიკა მისაღებია დაპროექტების საწყის სტადიაზე ზემოთ ნახსენები პარამეტრების უხეში მიახლოებითი შეფასებისათვის. ამასთანავე, გარეცხვის სიღიდეები გვექნება მარაგით, ანუ ანგარიშით მიღებული პარამეტრები ნამდვილზე მეტი იქნება. მეთოდიკა მისაღებია აერირებულ ნაკადიანი ფსკერული ნახტომით შეულლების დროსაც.

ძირითად საპროგნოზო გამოსახულებებში მიღებულია შემდეგი აღნიშვნები:

$y_{rm}$  - ლოკალური გარეცხვის ორმოს უდიდესი ზღვრული (მაქსიმალური) სიღრმე;

$h_0$  - ქვედა ბიუფში რისბერმის შემდეგ კალაპოტის ფსკერის გარეცხვის დაწყებამდე ნაკადის სიღრმე;

$v_0$  - ქვედა ბიუფში ნაკადის საშუალო სიჩქარე;

$v_1^0$  - არადამძვრული (არაგამრეცხი) სიჩქარე;

$\bar{a}_{0,l}$  - რისბერმის ბოლოს ჩამომავალი ნაკადის მოძრაობის რაოდენობის კორექტივი მაკროპულსაციის გათვალისწინებით;

$y_r$  - წყალსაშვის მუშაობის დაწყებიდან  $t$  დროის გასვლის მომენტის შესაბამისი ლოკალური გარეცხვის ორმოს უდიდესი სიღრმე;

$W$  - ქვედა ბიუფში კალაპოტის შემადგენელი გრუნტის ნატან-გრანულების საშუალო (მედიანური) ზომის რიცხვითი მნიშვნელობის შესაბამისი ჰიდროგლიცერი სიმსხო;

$t_1^*$  - ფსკერის ლოკალური გარეცხვის ორმოს შუალედური  $y_r^*$  სიღრმის მიღწევისათვის საჭირო დროის პერიოდის რიცხვითი მნიშვნელობა;

$t_1$  - ფსკერის ლოკალური გარეცხვის ორმოს სტაბილიზაციის შესაბამისი დროის მნიშვნელობა;

$l$  - ქვედა ბიუფში გამაგრების ბოლოზე გატარებულ განივევეთში კალაპოტის ფერდოს ჩამორეცხვის უდიდესი სიგანე;

$l_x$  - გამაგრების ბოლოდან  $x$  მანძილით დაშორებულ განივევეთში კალაპოტის ფერდოს ჩამორეცხვის უდიდესი სიგანე;

$QSL$  - გამაგრების ბოლოდან ქვემოთ დინების მიმართულებით  $L$  მანძილით დაშორებულ განივევეთამდე, სადაც ტალღების ამპლიტუდა ორი რიგით მცირე ხდება საწყის  $\tilde{a}_0$  ამპლიტუდასთან შედარებით, ნაპირგასწროვი ტალღური დინებით კალაპოტის ფერდოდან ჩამორეცხილი გრუნტის (ნატანის) საშუალო ხარჯის მნიშვნელობა;

$W_S$  - გამაგრების ბოლოდან  $L$  მანძილზე პროცესის დაწყებიდან  $t$  დროის განმავლობაში ტალღების მიერ კალაპოტის ფერდოდან ჩამორეცხილი გრუნტის მოცულობა;

$W_{Sm}$  - გამაგრების ბოლოდან  $L$  მანძილზე ფერდოს პრაქტიკულად სტაბილიზებული ფორმის დროს, კალაპოტის ფერდოდან ჩამორცხვილი გრუნტის მაქსიმალური მოცულობა;

$t_2$  - გვერდითი გარეცხვისას კალაპოტის ფერდოს კონფიგურაციის პრაქტიკულად სტაბილიზებული ფორმის შესაბამისი დროის მნიშვნელობა.

## 2. საპროგნოზო გაანგარიშებებისათვის აუცილებელი საწყისი მონაცემების ჩამონათვალი

ბიეფების ფსკერული რეჟიმით შეუღლებისას ქვედა ბიეფში წყალსაცემის ან რისბერმის შემდეგ ლოკალური გარეცხვის ორმოს უდიდესი სიღრმეების დროის მიხედვით ცვლილების და მისი შესაძლო ზღვრული მნიშვნელობის, ასევე გარეცხვის ორმოსა და ქვემოთ დინების მიმართულებით კალაპოტის ჩამორცხვის პარამეტრების სიღილეთა დადგენის საპროგნოზო ანგარიშების შესასრულებლად აუცილებელია გვქონდეს შემდეგი ძირითადი და საწყისი მონაცემები:

ა) წყალსაცემისა და რისბერმის კონსტრუქციული გაფორმების სქემა; ენერგოჩამქრობი ნაგებობების ამ ელემენტების ძირითადი ზომები (გრძივი და ვერტიკალური), ასევე ნაკადის საანგარიშო გადმოსაგდები ხარჯების შესაბამისი შემდეგი პიდრავლიკური პარამეტრები: კუთრი ხარჯი, მეორე შეუღლებული სიღრმის, ქვედა ბიეფის სიღრმის და ნახტომის ბოლო კვეთში (ან რისბერმიდან ნაკადის ჩამოსვლის ადგილას) კინეტიკური ენერგიის კორექტივის (ან მოძრაობის რაოდენობის კორექტივის) მნიშვნელობანი;

ბ) ქვედა ბიეფში კალაპოტის ფსკერისა და ფერდოს გრუნტის (ნატანის) გრანულომეტრიული შემადგენლობა და შეძლებისამებრ რისბერმის შემდეგ გეგმაში წვრილფრაქტიული ნატანის ლოკალური ლინზების ზომები და მათი შესაბამისი პიდრავლიკურ სიმსხოთა მნიშვნელობანი;

გ) წყალსაცემისა და რისბერმის საზღვრებში ქვედა ბიეფის გეგმა და სხვა მომიჯნავე ელემენტებთან (მაგალითად, წყალსაგდებ და წყალსაცემ ნაგებობებსა და კაშხლის ყრუნატილებების შორის გამყოფი კედლების არსებობის ან უქონლობის შემთხვევა და ა.შ.) წყალსაცემისა და რისბერმის მიბმის კონსტრუქციული გადაწყვეტა.

**შენიშვნა:** საერთოდ წყალსაგდები და წყალსაცემი ნაგებობების დაპროექტებისას ჩვეულებრივი პიდრავლიკური ანგარიშების შედეგად, ასევე პიდროლოგიური და გეოტექნიკური ანგარიშებითა და ძიებით ზემოთ ჩამოთვლილი საწყისი მონაცემების უმეტესობა ყოველთვის მოგვეპოვება და, მაშასადამე, დამუშავებული მეთოდიკით ქვედა ბიეფში ლოკალური გარეცხვების სიღრმეების განსაზღვრის საპროგნოზო ანგარიშების შესრულება არ საჭიროებს იმაზე მეტ რაიმე დამატებით ინფორმაციას, რაც საერთოდ დაპროექტებისას გამოიყენება.

3. ქვედა ბიეფში წყალსაცემისა და რისბერმის შემდეგ ლოკალური გარეცხვის ორმოს უდიდესი სიღრმეების და მათი ზღვრული მნიშვნელობის განსაზღვრის მეთოდიკა

3.1. პიდრავლიკური ნახტომით ფსკერული რეჟიმით შეუღლებისას, წყალსაცემის ან რისბერმის შემდეგ უბანზე ლოკალური გარეცხვის ორმოს უდიდესი ზღვრული (მაქსიმალური) სიღრმის განსაზღვრა ხდება შემდეგი დამოკიდებულებით:

$$y_{rm} = 6h_0 \frac{\frac{v_0}{v_1} \left( \sqrt{\alpha_{0,l}} - 0,548 \right) - 0,271}{\frac{v_0}{v_1} \left( \sqrt{\alpha_{0,l}} + 3,288 \right) + 1,626}. \quad (1)$$

წყალსაცემზე რისბერმის გარეშე ( $l_0=0$ ) ჩამომავალი ნაკადით გარეცხვის შემთხვევაში ამ გამოსახულებაში შემავალი  $h_0$  და  $v_0$  (წყალსაცემის ბოლოს ნაკადის სიღრმე და სიჩქარე) სიღიდეები დგინდება ჩვეულებრივი პიდრავლიკური ანგარიშით. ამასთანავე,

$$h_0 = h_2 - D. \quad (2)$$

აյ  $h_2$  ნახტომის მეორე შეუღლებული სიღრმეა;  $D$  - წყალსაცემი ჭის სიღრმე (ქვედა ბიეფიდან შეტბორილი წყალსაცემი კედლის შემთხვევაში  $h_0 = h_2$ );  $v_0 = \frac{q_0^*}{h_0}$ , სადაც  $q_0^*$  ბიეფების შეუღლების ყველაზე არახელსაყრელი პირობის დროს გადმოგდებული კუთრი ხარჯია განსაზღვრული მდ. ჩერტოუსოვის ან ი.ი. აგროსკინის [2,3] მეთოდიკებიდან.

**შენიშვნა:** წყალსაგდები ხერელების ნაწილის მუშაობისას  $q_0^*$  კუთრი ხარჯი უნდა განისაზღვროს მისი რაოდენობრივი ზრდის გათვალისწინებით გადმოგდებული ხარჯის გვერდებიდან გარემომცველი წყლის მასის შერევის გამო. ამასთანავე,  $\Delta q_0^*$  კუთრი ხარჯის ნაზრდის გამოთვლა შეიძლება ა.ს. ობრაზოვსკისა და კ.ი. როსინსკის [4,5] მიერ რეკომენდებული დამოკიდებულებით.

(1) დამოკიდებულებაში შემავალი  $v_1^0$  სიღიდე უნდა განისაზღვროს

$$v_1^0 = 1,2 \sqrt{gd} \left( \frac{h_0}{d} \right)^{1/6} \quad (3)$$

გამოსახულებით, სადაც  $d$  ქვედა ბიეფის შემადგენელი გრუნტის ნაწილაკების საშუალო დიამეტრია.

რეკომენდებულია, რომ პიდრავლიკური ნახტომის შემდეგ  $\alpha_0$  მოძრაობის რაოდენობის კორექტივის სიღიდე დადგინდეს ფორმულით

$$\bar{\alpha}_0 = \frac{\bar{\alpha} + 2}{3}, \quad (4)$$

სადაც ნახტომის შემდეგ  $\bar{\alpha}$  კინეტიკური ენერგიის კორექტივი იანგარიშება ფორმულით [6]

$$\bar{\alpha} = (1,7\sigma - 0,7) \left( 0,85 \frac{h_3}{h_1} + 0,25 \right), \quad (5)$$

რომელშიც  $\sigma$  ნახტომის დაძირვის ხარისხია  $\left( \sigma = \frac{h_4}{h_0} \right)$ ;  $h_3 = \sqrt[3]{\frac{q_0^{*2}}{g}}$  კი - კრიტიკული სიღრმე;

$h_4$  და  $h_1$  კი - შესაბამისად  $q_0^*$  ხარჯის დროს ქვედა ბიეფში და შეკუმშულ კვეთში ნაკადის სიღრმეებია.

იმ შემთხვევაში, როდესაც წყალსაცემის შემდეგ გგაქეს  $l_0$  სიგრძის პორიზონტალური რისბერმა, ანგარიში მიმდინარეობს ასევე (1) ფორმულით, რომელშიც ყველა სიღიდეები,

$\bar{\alpha}_{0,l}$ -ის გარდა, განისაზღვრება ისე, როგორც ეს ზემოთაა მითითებული,  $\bar{\alpha}_{0,l}$  კი  $\bar{\alpha}_{0,l} = \frac{\bar{\alpha}_l + 2}{3}$  დამოკიდებულებით, სადაც

$$\bar{\alpha}_l = \bar{\alpha} - (\bar{\alpha} - 1) \sqrt[3]{\frac{l_0}{2l_1}}. \quad (6)$$

აქ  $l_1$  - ჰიდრავლიკური ნახტომის სიგრძის ტოლი - წყალსაცემის სიგრძეა, რომელიც შეგვიძლია განვსაზღვროთ ნებისმიერი ცნობილი საანგარიშო დამოკიდებულებიდან [2,3,6].

3.2. ქვედა ბიეფში აერირებული ნაკადის მოდინებისას (მაგალითად, სწრაფდენის შემდეგ წყალსაცემის არსებობისას, რომელზეც აერაციის ცნობილი კრიტერიუმებით [2,6,7] ნაკადი აერირდება და წყალსაცემზე დაცემის ადგილზე ჰაერის კონცენტრაცია მიაღწევს S\_a სიდიდეს) ანგარიში ხდება იმავე მიმდევრობითა და იმავე ფორმულებით, როგორც ეს ზემოთაა მოყვანილი, მხოლოდ  $h_0$  და  $v_0$ , ასევე ნახტომის სიგრძე  $l_1$  იანგარიშება [2,6] მეთოდიკით, რომელიც განკუთვნილია ბიეფების შეუღლების წინასწარი ანგარიშისათვის ქვედა ბიეფში აერირებული ნაკადის მოდინების შემთხვევაში.

3.3. ლოკალური გარეცხვის ორმოს უდიდესი სიღრმების ზრდის დროზე დამოკიდებულების განსაზღვრა უნდა შესრულდეს შემდეგი ფორმულებით:

ა) გამაგრების შემდეგ გაზრდილი ტურბულენტობის მქონე ( $\bar{\alpha}_0 > 1$ ) ნაკადით ფსკერის გარეცხვის დროს:

$$y_r = y_{rm} \frac{1 - \exp \left[ -0,018 \frac{Wt}{h_0 + y_{rm}} \left( \frac{y_{rm}}{h_0} \right)^{2,5} \right]}{1 - \frac{y_{rm}}{h_0 + y_{rm}} \exp \left[ -0,018 \frac{Wt}{h_0 + y_{rm}} \left( \frac{y_{rm}}{h_0} \right)^{2,5} \right]}; \quad (7)$$

ბ) რისბერმიდან ჩამომავალი მდოვრადცვლადი ნაკადით ( $\bar{\alpha}_0 = 1$ ) ფსკერის გარეცხვის დროს:

$$y_r = y_{rm} \frac{1 - \exp \left[ -3,63 \cdot 10^{-3} \frac{Wt}{h_0} \left( \frac{y_{rm}}{h_0} \right)^{1,5} \left( 1,67 - \frac{v_1^0}{v_0} \right) \right]}{1 - \frac{y_{rm}}{h_0 + y_{rm}} \exp \left[ -3,63 \cdot 10^{-3} \frac{Wt}{h_0} \left( \frac{y_{rm}}{h_0} \right)^{1,5} \left( 1,67 - \frac{v_1^0}{v_0} \right) \right]}. \quad (8)$$

3.4. ლოკალური გარეცხვის ორმოს შუალედური და სტაბილიზებული ფორმის შესაბამისი სიღრმების მიღწევისათვის საჭირო დროის პერიოდების  $t_1^*$  და  $t_1$  რიცხვითი მნიშვნელობები განისაზღვრება შემდეგი დამოკიდებულებებით:

$$t_1^* = \frac{h_0 + y_{rm}}{0,018W} \left( \frac{h_0}{y_{rm}} \right)^{2,5} \ln \frac{y_{rm} \left( 1 - \frac{y_r^*}{h_0 + y_{rm}} \right)}{y_{rm} - y_r^*}; \quad (9)$$

$$t_1 = \frac{h_0 + y_{rm}}{0,018W} \left( \frac{h_0}{y_{rm}} \right)^{2,5} \ln \left[ 100 \left( 1 - \frac{y_{rm}}{h_0 + y_{rm}} \right) \right]. \quad (10)$$

(7)-(10) დამოკიდებულებებში  $y_{rm}$  განისაზღვრება (1) ფორმულით;  $h_0$ ,  $v_0$  და  $v_1^0$  - წინა პუნქტებში მოყვანილი შესაბამისი დამოკიდებულებებით;  $W$  ქვედა ბიუფში გრუნტის გრანულების საშუალო დიამეტრის შესაბამისი პიდრავლიკური სიმსხოა, მ/წმ, ხოლო  $t$  - დრო, წმ, ათვლება საანგარიშო  $q_0^*$  ხარჯის წყალსაშვზე გადმოვდების მომენტიდან.

**შენიშვნა:** კბილის ჩაღრმავების სიმაღლე, რომელიც გამაგრების ბოლოს გამორეცხვისაგან იცავს, ყოველთვის უნდა დადგინდეს ლოკალური გარეცხვის ორმოს ზღვრული (მაქსიმალური) სიღილის მიღწევის ვარაუდიდან გამომდინარე, ამიტომ პრაქტიკული თვალსაზრისით, (1) და (10) დამოკიდებულებები უფრო მნიშვნელოვანია, ვიდრე (7)-(10), თუმცა დაუმთავრებელ ნაგებობებზე წყალდიდობის ხარჯების იძულებითი გაშვებისას, (7) და (9) გამოსახულებები გამაგრებისათვის წყალდიდობის ხარჯების გატარების უზიფათო ხანგრძლივობის პროგნოზირების საშუალებას გვაძლევს, რასაც რიგ შემთხვევებში არსებითი მნიშვნელობა შეიძლება ჰქონდეს.

#### 4. ქვედა ბიუფში წყალსაცემისა და რისბერმის შემდეგ კალაპოტის ფერდოს ჩამორეცხვის უდიდესი სიგანების განსაზღვრის მეთოდიკა

4.1. ქვედა ბიუფში გამაგრების ბოლოზე გატარებულ განივევეთში, ანუ ლოკალური გარეცხვის ორმოს ფარგლებში, კალაპოტის ფერდოს ჩამორეცხვის უდიდესი სიგანე იანგარიშება შემდეგი გამოსახულებით:

$$l = 2,77 \cdot 10^{-3} \frac{(h_2 - h_1)^2}{d}. \quad (11)$$

4.2. დიდი წყალსატევების (ზღვების, ტბების, წყალსაცავების) და დიდი არხების პლაზების მდგრადობის დასადგენად გამოიყენება დამოკიდებულება

$$l = 0,325 \frac{\tilde{a}^2}{d}. \quad (12)$$

4.3. გამაგრების ბოლოდან  $x$  მანძილით დაშორებულ განივევეთში კალაპოტის ფერდოს ჩამორეცხვის უდიდესი სიგანე იანგარიშება დამოკიდებულებით:

$$l_x = 2,77 \cdot 10^{-3} \frac{(h_2 - h_1)^2}{d} \exp\left(-\frac{4\pi Dx}{h_2 - h_1}\right). \quad (13)$$

(11)-(13)-ში  $h_1$  და  $h_2$ , შესაბამისად, პიდრავლიკური ნახტომის პირველი და მეორე შეუღლებული სილრმეებია;  $d$  - პლაზმაფორმირებული გრუნტის გრანულების საშუალო დიამეტრი ( $d=d_{95\%}$ );  $l$  - პლაზის გარეცხვის სიგანე;  $\tilde{a}$  - ქარისმიერი ტალღის ამპლიტუდა განისაზღვრება [8]-ში მოცემული სპეციალური მეთოდიკით;  $D=13,5 \cdot 10^{-5}$  - ენერგიის დისიპაციის ინტენსიონის მუდმივა.

4.4. ნაპირგასწვრივი ტალღური დინებით კალაპოტის ფერდოდან ჩამორეცხილი გრუნტის (ნატანის) საშუალო ხარჯის მნიშვნელობა გამაგრების ბოლოდან ქვემოთ დინების მიმართულებით  $L$  მანძილით დაშორებულ განივევეთამდე, სადაც ტალღების ამპლიტუდა ორი რიგით მცირე ხდება საწყის  $\tilde{a}_0$  ამპლიტუდასთან შედარებით, განისაზღვრება შემდეგი გამოსახულებით:

$$Q_{SL} = 4,3 \cdot 10^{-5} \frac{\lambda \tilde{a}_0^2}{m^{0,75}} \sqrt{\frac{g}{d}}. \quad (14)$$

4.5. პროცესის დაწყებიდან  $t$  დროის განმავლობაში ტალღების მიერ არხის ერთი ფერდოდან ჩამორეცხილი გრუნტის მოცულობა გამაგრების ბოლოდან  $L$  მანძილზე იანგარიშება დამოკიდებულებით:

$$W_s = 4,3 \cdot 10^{-5} \frac{\lambda \tilde{a}_0^2 t}{m^{0,75}} \sqrt{\frac{g}{d}} . \quad (15)$$

4.6. ფერდოს ჩამორეცხვისას, დროის ის მნიშვნელობა, როდესაც არხის ფერდოს კონფიგურაცია მიიღებს პრაქტიკულად სტაბილიზებულ ფორმას, განისაზღვრება დამოკიდებულებით:

$$t_2 = \frac{N \cdot m_{\max}^{0,75}}{\sqrt{gd}} \cdot 10^7 \text{ წმ.} \quad (16)$$

4.7. არხის ერთი ფერდოდან ჩამორეცხილი ნატანის მაქსიმალური მოცულობა გამაგრების ბოლოდან  $L$  მანძილზე ფერდოს პრაქტიკულად სტაბილიზებული ფორმის დროს ( $t=t_2$ ), განისაზღვრება გამოსახულებით:

$$W_{sm} = 15 \frac{N}{d} (h_2 - h_1)^3 . \quad (17)$$

(15) და (16) გამოსახულებებში

$$N = 0,28(h_2 - h_1) - 58md + \left( 1 - 202 \frac{d}{h_2 - h_1} \right) (H - 1,28h_2 + 0,28h_1) . \quad (18)$$

(14)-(18)-ში  $\lambda$  ტალღის სიგრძეა;  $m$  და  $m_{\max}$  - გარეცხვის დაწყებამდე და დამთავრების შემდეგ ფერდოს შესაბამისი კოეფიციენტები;  $d$  - ფერდოს შემადგენელი გრუნტის გრანულების საშუალო დიამეტრი;  $H$  - ტრაპეციული არხის სიმაღლე;  $g$  - სიმძიმის ძალის აჩქარება;  $h_1$  და  $h_2$  აღნიშვნების განსაზღვრებები კი ზემოთ იყო მოყვანილი.

**შენიშვნა:** а) რადგან ქვედა ბიეფში წყალსაცემისა და რისტერმის შემდეგ ლოკალური გარეცხვის ორმოს ფარგლებში და ქვემოთ დინების მიმართულებით, სადაც ჯერ კიდევ შესამჩნევია პიდრავლიკური ნახტომით გენერირებული ტალღების ტრანსფორმაციით გამოწვეული წყლის ზედაპირის ტალღური რხევა, კალაპოტის ფერდოს ჩამორეცხვის უდიდესი სიგანების პროგნოზირება აუცილებელია კალაპოტის შესაძლო გამაგრების შეფასების, ზიდური (სხვა) გადასასვლელების და კალაპოტის გასწვრივ გზების სწორი შერჩევისათვის. ამიტომ პრაქტიკული თვალსაზრისით, (11) და (13) დამოკიდებულებები უფრო მნიშვნელოვანია (14)-(17) დამოკიდებულებებთან შედარებით. თუმცა კალაპოტის ფერდოდან ჩამორეცხილი გრუნტის საშუალო ხარჯის, პროცესის დაწყებიდან  $t$  დროის განმავლობაში ტალღების მიერ არხის ერთი ფერდოდან ჩამორეცხილი გრუნტის მოცულობის და მისი მაქსიმალური მნიშვნელობის (ფერდოს პრაქტიკულად სტაბილიზებული ფორმის დროს, როდესაც  $t=t_2$ ), ასევე სტაბილიზაციის დროის სიდიდეების განსაზღვრას რიგ შემთხვევებში გარკვეული პრაქტიკული მნიშვნელობა შეიძლება ჰქონდეს.

ბ) კალაპოტის (არხის) ფერდოს ჩამორეცხვის ანგარიშთან ერთად, უნდა შესრულდეს კალაპოტის განივევეთის ქვედა სიღრმითი ნაწილის კონფიგურაციის ცვლილების ანგარიშიც, რომელიც გამოწვეულია ფერდოს ჩამორეცხვის შედეგად ჩამოტანილი გრუნტის ნაწილაკების ნაწილობრივი დალექციით ფსკერზე, სადაც დინების გრძელი სიჩქარები მინიმალურია და რის გამოც არსებობს წყალქვეშა აკუმულირებული სხეულების გაჩქნის პირობები.

## ლ ი ტ ე რ ა ტ უ რ ა

1. გიოშვილი ა. პილოროკვანძების ქვედა ბიეფებში ფსკერული რეჟიმით შეუღლებისას ნახტომის შემდეგი ნაკადით ლოკალური (ადგილობრივი) გარეცხვების პიდრავლიკა. თბილისი:მერიდიანი. 2007.
2. Чертоусов М.Д. Гидравлика. М.-Л.:Госэнергоиздат. 1959.
3. Агроскин И.И., Дмитриев Г.Т., Пикалов Ф.И. Гидравлика. М.-Л.:Госэнергоиздат. 1954.
4. Вошинин А.П., Гришин М.М., Лихачев В.П. и др. Проектирование речных гидроузлов на нескальных основаниях. М.:Энергия. 1967.

5. Россинский К.И., Дебольский В.К. Речные наносы. М.:Наука. 1980.
6. Богомолов А.И., Михайлов К.А. Гидравлика. М.:Стройиздат. 1972.
7. Розанов Н.П. Гидротехнические сооружения. М.:Стройиздат. 1978.
8. СНиП 2-57-75. Ч.2. Гл.57. Нагрузка и воздействия на гидротехнические сооружения (волновые, ледовые, от судов). М.:Стройиздат. 1976.

ალვანი გიორგიძე ტექნ. მეცნ. აკადემიური დოქტორი  
E-mail: alvani.gioshvili@gmail.com